

Array受信器에 依한 超音波 Hologram으로 像의 Digital 再生

孫 珍 鉉

Digital Reconstruction of Images by the Ultrasonic Holograms using the Array Transducers

Jin-Hyeon Son

目 次

Abstract	4. Digital 處理에 依한 hologram으로 像의 再生
1. 序 論	(1) 補間에 依한 hologram으로 像의 再生
2. Array 受信器가 傾斜한 경우의 一般的인 Fresnel 回折과 그의 再生	(2) 傾斜된 array 受信器에 依한 hologram으로 像의 再生
3. Array 受信器에 依한 On-line data收集	5. 傾斜된 array 受信器에 依한 Fresnel zone pattern
(1) Array 受信器	6. 結 論
(2) Array 受信器의 傾斜角	参考文献
(3) Data의 測定과 on-line data收集裝置	

Abstract

Ultrasonic holography is being widely used for many fields, such as non-destructive testing, ultrasonic diagnosis, etc.. Digital image processing by computer is of use to scanned ultrasonic holograms, because the processing requires less memory capacity and processing time than those of optical images.

But the scanning method using one receiver takes too much time to acquire data, so it is disadvantageous in producing real time reconstruction of images.

In this paper, the images are reconstructed by calculating the new and general inverse Fresnel transform which also gives the possibility of the perfect reconstruction under the condition of tilted hologram with the aid of the fast Fourier transform(FFT) algorithm.

A method of saving time in acquiring digital ultrasonic holograms using the pulse wave is on-line data acquisition by using the array receiver (consisting of 33 transducers).

The experimental results produced by the above method are as follows.

1. Reconstructed images are compared with one another. One is acquired by use of all

data (64×64) which are obtained by the two scanning method.

The others are acquired by the interpolation of a half(64×32) of the data and a quarter(32×32) of the data which are obtained by the one scanning method.

2. By means of a new algorithm, perfect reconstruction of hologram obtained by the tilted array receiver is examined.

1. 序 論

超音波 holography는 非破壊検査, 超音波診斷, 海底調査, 地質検査 等 그의 應用이 날로 増加하고 있다¹⁻⁷⁾. 超音波 holography의 檢出에는 走査型⁸⁾, 液面型²⁰⁾ 等 여러 方法이 있지만, 液面型은 laser를 介在해서 光學的인 analog 再生이고 더以上 畫質의 向上이 困難하다. 그러나 走査型 超音波 holography는 高感度인 超音波變換子를 使用할 수 있고, 또 振幅과 位相 혹은 複素振幅을 直接 檢出해서 hologram을 얻고 Gabor의 in-line 配置에도 共役像의 妨害가 없는 再生이 可能하다.

超音波는 빛에 此하여 長波長이므로 開口對 波長比가 적어서 data數를 줄여 計算機에 依한 digital處理로 再生을 할 수 있다⁹⁻¹²⁾. 한편 digital 再生은 digital 畫像處理¹³⁾의 技術을 併用 함으로써 畫質의 改善도 可能하고, 最近 IC, LSI, microprocessor¹⁴⁾ 等의 進步로 digital 演算과 記憶 cost가 急激히 低下하고 있어서 超音波 holography의 digital處理가 實用化 되기도 目前에 이르고 있다. 그러나 走査方法에 依한 超音波 holography의 digital 處理는 data收集時間과 處理時間이 긴 缺點이 있으므로 實時間 再生에는 難點이 되고 있다. data收集時間과 短縮하는 한 方法은 array受信器를 使用하는 것이다.

array受信器를 使用하는 경우 array受信器가 傾斜가되면 傾斜된 hologram이 되고 이것은 從來의 方法으로 再生하면 完全한 再生이 이루어 지지 않는다.

本研究에서는 1) 傾斜된 hologram도 完全 再生이 可能한一般的인 algorithm을 導出하고 이것을 立證하였다. 2) array受信器(33個의 受信子로 構成)와 array受信器의 制御裝置를 製作하고 micro computer에 on-line으로 data를收集하여 data收集時間과 顯著히 短縮시켰다. 3) digital處理로 補間에 依하여 data數 즉 data收集時間도 더 줄일 수 있는 可能性을 보였다.

2. Array受信器가 傾斜된 경우의 一般的인 Fresnel回折과 그의 再生

Fig. 1과 같이 平面인 目標物体의 座標를 (x_1, y_1, o) , 이面과 平行 즉 array受信器(Fig. 2)가 傾斜되지 않은 경우의 array受信器의 走査面(hologram面)의 座標를 (x_0, y_0, z_0) 라 하고, 또 array受信器가 (y_0, z) 面과 A, (x_0, y_0) 面과 B의 角으로 傾斜되고 있는 경우의 hologram面의 修正座標를 $(X, Y, Z,)$ 라 하면, 送信子는 物体 (x_1, y_1, o) 下側에 있고 이것과 hologram面과 物体의 中心은 한 直線上에 있다. 傾斜로 因한 각 座標의 變量을 P_x, P_y, P_z 라 하고 hologram面과 物体와의 任意距離를 r 라 하고, array受信器가 x 方向(x_0 方向)으로 走査할 때, 各單位距離(1mm)를 進行할 때마다 array受信器의 左側에서 右側 즉 y_0 의 反對 方向으로 向해서 順次의으로 各 受信子가 情報를收集하면 다음의 (1), (2) 및 (3)式이 成立한다.

$$\begin{aligned} X &= x_0 + P_x \\ Y &= y_0 - P_y \\ Z &= z_0 + P_z \end{aligned} \quad \dots \dots \dots \quad (1)$$

$$\begin{aligned} P_x &= \sin A \cos B y_0 \\ P_y &= (1 - \cos A \cos B) y_0 \\ P_z &= \cos A \sin B y_0 \end{aligned} \quad \dots \dots \dots \quad (2)$$

(3) 式의 近似式은 $\left(\frac{X-x_1}{Z}\right)^2 + \left(\frac{Y-y_1}{Z}\right)^2 < 1$ 이 成立하는 경우이다.

物体로 부터의 hologram 面의 impulse 應答 $h(X, Y, Z; x_1, y_1)$ 와 이의 傳達函數 即 h 의 Fourier 變換은 (3)式의 近似式 即, Fresnel의 近似式을 利用하면 각각 다음의 (4), (5)式이 된다. 여기서 λ 는 波長이고 $k = \frac{2\pi}{\lambda}$ 이다.

$$h(X, Y, Z; x_1, y_1) = \frac{\exp(jkZ)}{jkZ} \exp\left[-j\frac{k}{2Z} \left\{ (X-x_1)^2 + (Y-y_1)^2 \right\}\right] \dots \quad (4)$$

$$F[h] = \frac{1}{j\sqrt{\lambda}Z} \exp(jkZ) \exp\{-j\pi\lambda Z(f_x^2 + f_y^2)\}.$$

(5) 式의 f_x 및 f_y 는 각각 x 방향과 y 방향의 空間周波數이고 (6) 式과 같다.

Fresnel의 회折에 의하여 개구면에서의 hologram $\cup_0(X, Y, Z)$ 는 다음 (7)식과 같이 convolution의 式으로 表示된다. 여기서 $\cup_1(x_1, y_1)$ 은 物体의 情報이며 再生時의 物体의 像이 된다.

(7)式은 다시 convolution의 定理에 依하여 (8)式으로 表示된다.

(8) 式의 각項은 (7)式의 각項의 Fourier 變數이다. 像의 再生은 (9)와 같이 $F[U_0]$ 와 $F[h]$ 와의 比를 구하고 다시 Fourier 逆變換을 한다. 錯度를 얻기 위하여 絶對值를 取한다.

한국 (7)式을 積分型으로 變更하면 (10)式이 된다.

$$\cup_{\mathfrak{o}}(X, Y, Z) = \frac{\exp(jkz_0)}{i\lambda z_0} \exp(jkP_s) \exp \left\{ j \frac{k}{2Z} (X^2 + Y^2) \right\}.$$

$$\int \int_{-\infty}^{\infty} \cup_1(x_1, y_1) \exp \left\{ j \frac{k}{2Z} (x_1^2 + y_1^2) \right\} \exp \left\{ -j \frac{2\pi}{\lambda Z} (X x_1 + Y y_1) \right\} dx_1 dy_1 \dots \dots (10)$$

(10) 式에서 x 方向과 y 方向의 空間周波數를 (6)式과 같이 各各 f_x, f_y 라 하면 (10)式의 積分記號內는 $\cup_1(x_1, y_1) \exp \left\{ j \frac{k}{2Z} (x_1^2 + y_1^2) \right\}$ 的 Fourier變換이 된다.

像 $U_1(x_1, y_1)$ 의 재생은常數項을除外하면 (11)式과같이 hologram $U_0(X, Y, Z)$ 에 (12)式의位相項을곱한것을 Fourier逆變換한것이다.

$$E(X, Y, Z) = \exp(-jkP_t) \exp \left\{ -j \frac{k}{2z} (X^2 + Y^2) \right\} \dots \quad (12)$$

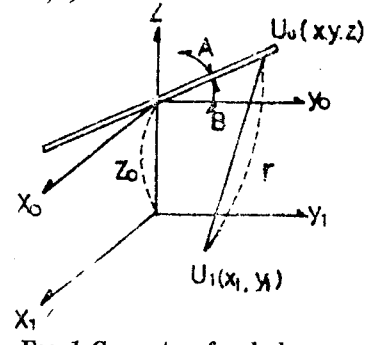


Fig. 1. Geometry for hologram recoding with tilted linear array receivers
 U & U_0 illustrate object & hologram and A&B, angles of tilted array receivers.

像의 強度는 (11)式의 絶對值를 取하여 (13)式으로 구한다.

(9) 式 혹은 (13)式은 傾斜한 hologram面을 包含한 一般的인 Fresnel 逆變換式에 絶對值를 取한 것이다.

3. Array 受信器에 依한 on-line data 收集

(1) Array 受信器

33개의受信子로構成된array受信器를Fig.2의略圖와같이製作하였다.

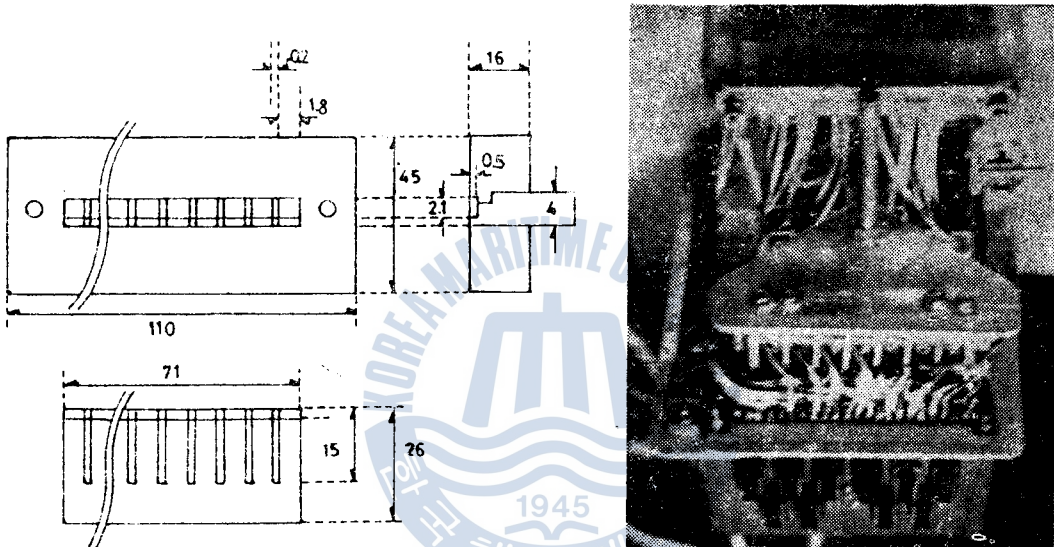


Fig. 2. Configuration of linear array receivers & mount (mm)

Photo. 1. Photograph of linear array receivers

受信子는 直徑 80mm, 두께 0.5mm, 共振周波數 4.410097 MHz의 ceramics振動子(No. 316) (送信子 $\phi=3mm$ 도 이 振動子의 一部를 使用)를 막대 모양으로 切斷($10mm \times 66mm$)해서 mount (acryl台)에 接着하고 縱으로 2.1mm幅으로 切斷하여 다시 振幅子의 다른 한 幅 1.88mm, 間隔 0.2mm, 깊이 約 15mm(dicing)가 되게 振動子와 mount의 一部를 切斷하였다. 各 振動子의 電極에는 $\phi=0.2mm$ 銀線(길이 約5mm)를 導電接着劑로 兩電極에 接着하고 各各 同軸線(길이 約105mm)를 使用해서 reed relay에 연결하고 振動子와 導線은 paraffin으로 防水했다. 完成된 各 振動子의 Q는 낮아서 共振点이 나타나지 않고 水槽内에서 送受信子의 總合特性에 依하여 使用周波數(4.2863MHz)을決定하였다. 各 振動子의 振幅과 位相의 特性은 큰 差異가 없고, 2個의 振動子를 別個로 切斷($2mm \times 2mm$)해서 各各 接着하여 製作한 2個의 Array受信子¹⁸⁾과 같이 各 振動子에 對하여 振幅과 位相의 補正을 할 必要가 없었다. Photo. 1은 完成된 array受信器의 寫眞이다.

(2) Array 受信器의 傾斜角

Array 受信器의 傾斜角 즉 (2)式의 角 A 와 B 에 관하여 우선 Fig. 3과 같은 簡單한 경우를 考察한다.

$A=0$ 을 array 受信器가 x_0 軸과 直交가 되게 調整한다. 이것은 走査가 시작하는 位置 x_{01} 과 走

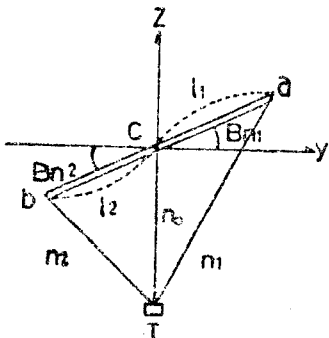


Fig. 3. Geometry of tilted linear array receivers for measurement of B at $A=0$. *T&ab* illustrate transmitter for ultrasonic & linear array receivers respectively.

$$B = \frac{B_1 + B_2}{2} \dots \dots \dots \quad (15)$$

여기서

이고 (16)式中에서 $l_1 = l_2 = 32mm$ 이다.

(3) Data의 测定과 on-line data 收集装置

本實驗의 全體構成은 Fig. 4와 같고 hologram의 複素振幅은 micro compute에 on-line으로 data를 收集하고 mini computer에 依하여 digital處理와 dispaly를 한다.

複素振幅의 data를 测定하고 또 制御하는 裝置

를 Fig. 5에 또 이 Fig. 5内の array 受信子의 制御裝置를 Fig. 6에 나타내었다. 이것은 走査時受信子의 位置(sample 間隔)에 따라 0.5mm , 1mm 혹은 2mm)를 나타내는 clock pulse를 基準으로制御된다.

Fig.6의 array 제어 장치는 reed relay의 제어 입력 pulse(pulse 폭; 8msec)가 입력 한 뒤 이 pulse 폭의 $\frac{1}{2}$ 시간 후 pulse 형성 회로에서 고주파(4.2863MHz)에同期되어 나오는 고주파 pulse(pulse 폭; 8 μ sec)를 고주파 전력 증폭기로 증폭해서 송신기에 보낸다. 여기서 발생한 超音波는 물체에서 반사하고 수신기에 이른다. 수신기에서 수신한 물체의 파는 reed relay를 지나 증폭되고 고주파의 주파수를 기준으로同期 검증을 하여 동상 성분(實數部)과 직류 성분(虛數部)을 얻는다. sample hold는 A/D 변환 시 sampling pulse와의 遷近(5 μ sec)과 각 channel 간의 遷近(10 μ sec) 관계로 두 있다.

Fig. 7은 이를 각부의 波形을 나타낸 것이다. (1)은 clock pulse를, (2), (3)은 reed relay의 制御入力pulse를, (4)는 高周波pulse를, (5)는 受信波와 反射波를, (6)은 檢波 波形을, (7)은

- 91 -

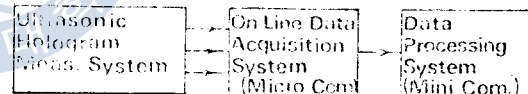


Fig. 4. Block diagram of the whole system for ultrasonic holography.

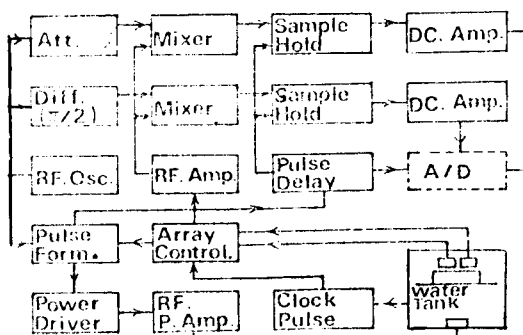


Fig. 5. Block diagram of measurement system for ultrasonic hologram.

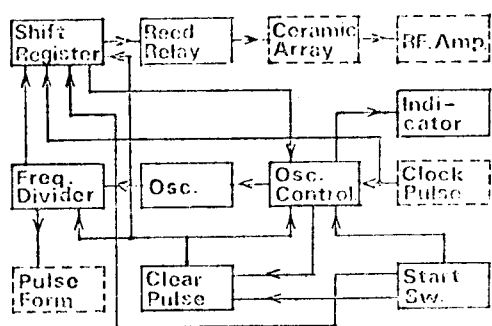


Fig. 6. Block diagram of controlling array receivers.

sample hold의 出力 波形을, (8)은 A/D 變換의 sampling pulse를 나타낸 것이다.

以上의 各 機能은 32個의 reed realy를 順次的으로 制御한다. 따라서 受信波는 array 受信子의 配列方向(y方向)으로 2mm間隔인 32点에서 受信한다. 이 過程은 array受信器의 走査方向(x方向)으로 1mm 間隔마다, 1走査當 64回 反復하여 32×64点에서 受信波를 받는다.

다음 2回의 走査는 y方向으로 1mm 移動하고 x方向은 1回 때와 같은 位置에서 走査한다. 以上 2回의 走査에 依하여 y와 x方向으로 각各, 1mm 間隔에 (32×64)×2点에서 data를 sampling하게 된다. 이를 各 受信波는 同期檢波되어 實數 및 虛數部로 分離되고 Fig. 8의 on line data 收集 system¹⁹⁾에서 A/D 變換하여 micro computer (SMP 80/20)CUP를 거쳐 floppy disk에 store된다.

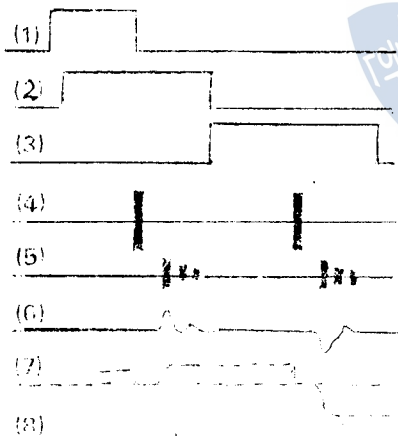


Fig. 7. Waveforms

- (1) Clock pulse
- (2), (3) Controlling pulse for reed relay
- (4) RF pulse
- (5) Receiving & reflected RF pulses
- (6) Output signal of RF pulse synchronously detected
- (7) Output signal of sample hold
- (8) Trigger pulse for sampling

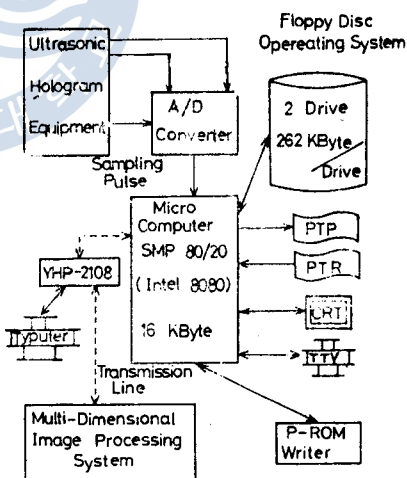


Fig. 8. Block diagram of on-line data acquisition system

以上의 data를 測定하여 store하는데 所要된 時間은 約 2分30秒였다. ($f=1\text{MHz}$, sample間隔 $2\text{mm} \times 2\text{mm}$, 1個의 受信子를 使用하여 A/D變換을 하지 않고 analog의 data로 data recorder에 收錄한

從來의 경우는 約 110分 所要)

實驗에서 使用한 目標物体의 略圖는 Fig. 9와 같고 이 것은 $400mm \times 380mm$, 두께 $1.5mm$ 의 aluminum板 兩面에 gum tape를 빌라 超音波의 散亂을 防止하고 이 板中央에 Fig. 9와 같은 USH의 글을 刻 것이다.

以上의 裝置와 方法으로 hologram의 data를 收集하였다. 超音波의 周波數 $f=4.2863MHz$ 이고 物体와 hologram面 까지의 距離 $Z_0=150mm$ 이고 表에서 各 data를 測定할 때의 條件을 나타내었다. 表中에서 $S_1 \sim S_4$ 는 data名, λ 는 波長(水溫에 依하여 變함), D 는 送信子와 hologram面의 中心까지의 距離, $n_0 \sim n_2$ 는 (16)式 中의 波數, A 와 B 는 (14)式과 (15)式에서의 array受信器의 傾斜角, P_x, P_y , 및 P_z 는 (2)式의 값이다.

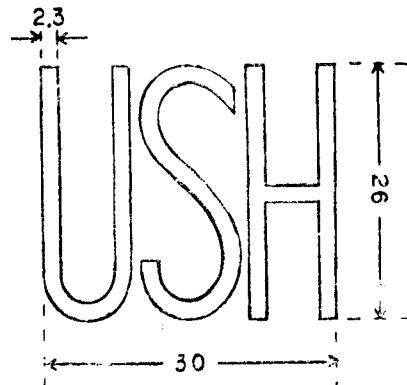


Fig. 9. Object for ultrasonic hologram
(mm)

	S_1	S_2	S_3	S_4
$\lambda(mm)$	0.348	0.348	0.347	0.345
$D(mm)$	435	435	435	427
n_1	1251.5	1243	1263	1234
n_0	1248.5	1248	1251	1236
n_2	1251.5	1259	1244	1247
$A^{(0)}$	0.92	0.92	0.92	0.92
$B^{(0)}$	0.0	-5.34	6.33	-4.04
P_x	0.016	0.016	0.016	0.016
P_y	0.0001	0.005	0.004	0.0026
P_z	0.00	-0.093	0.08	-0.0704

$f_0=4.2863MHz$ $Z_0=150mm$
Table Measurement conditions of hologram data
 $S_1 \sim S_4$ illustrate data names, λ , wave length, $n_0 \sim n_2$ number of waves from transmitter to the receivers, A & B illustrate angles of linear array receivers(Fig. 1), and P_x, P_y & P_z parameters for Eq. (1) n_1 being the first receiver, n_0 the middle receiver, n_2 the last receiver.

4. digital 處理에 依한 hologram으로 像의 再生

floppy disk에 store된 data는 必要時에 다시 Fig. 8의 micro-computer의 CPU와 YHP-2108의 CPU를 거쳐 mini computer에 傳送되어 digital 處理로 再生된다. 이 再生은 (9)式 혹은 (13)式의一般的인 Fresnel逆變換法을 利用하였다. 再生處理는 mini-computer(YHP-2100)로 data의 配列變換, 位相演算, Fourier 逆變換(FFT)¹⁵⁾⁻¹⁷⁾, 絶對值演算, CRT에 display 等이 고 再生에 所要된 全時間은 約 1分50秒였다.

(1) 捕間에 依한 hologram으로 像의 再生

Fig. 8의 floppy disk에 store되어 있는 實數와 虛數部의 各data는 $(32 \times 64) \times 2$ 個 즉 64×64 個이 고

이것을 mini computer로 傳送해서 無處理로 CRT에 display하면 Photo. 2와 3과 같아된다. 이것은 表의 S_1 (array受信器가 傾斜하지 않을때의 data)의 경우이고, 各各 複素振幅의 實數部(Photo. 2)와 虛數部(Photo. 3)의 hologram의 data를 各各 data收集時의 順序대로 64×64 個로 display한 것이다. Photo. 2와 3의 (a)는 第1走查時 x 方向의 奇數列의 data(32×32 個)에 依한 것이고 hologram面 $64 mm \times 64 mm$ 를 $2mm \times 2mm$ 間隔으로 sampling 한것을 $1mm \times 1mm$ 間隔에 該當하게 display한 것이다.



Photo. 2 Holograms(each hologram : $2mm \times 2mm$ sampling, 32×32 data) for real part of S_1 in the Table

- (a) Hologram made by odd lines of the first scanning
- (b) Hologram made by even lines of the first scanning
- (c) Hologram made by odd lines of the second scanning
- (d) Hologram made by even lines of the second scanning

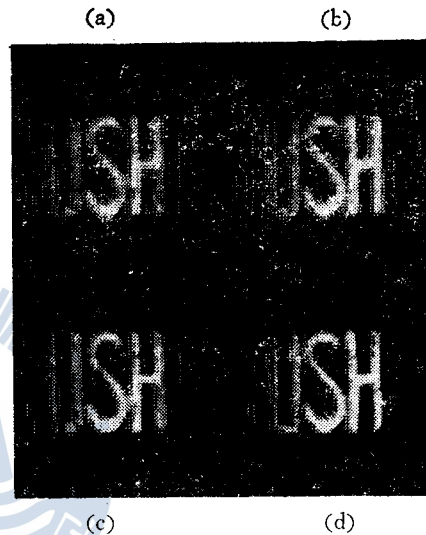


Photo. 4 Reconstructed images from holograms with interpolation

- (a) Image made by Photo. 2(a) & Photo. 3(a)
- (b) Image made by Photo. 2(b) & Photo. 3(b)
- (c) Image made by Photo. 2(c) & Photo. 3(c)
- (d) Image made by Photo. 2(d) & Photo. 3(d)

Photo. 3 Holograms for imaginary part of S_1 are equal to the cases of Photo. 2.

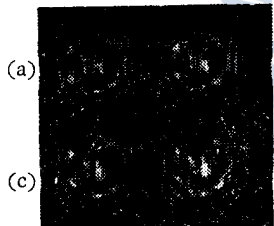


Photo. 2와 3의 (b)의 것은 第1走查時 x 方向의 偶數列에 依한 것이다. Photo. 2와 3의 (c), (d)의 寫眞은 第2走查에 依한 各 hologram이다.

Photo. 2와 3 즉 實數와 虛數部에서 對應하는 4組의 各 hologram에서 各各 1組(32×32 個의 data)를 選擇하여 各 data와 data 사이를 兩側의 data의 平均值로 補間해서 64×64 個의 data로 變更하고 表中 S_1 의 各 parameter($\lambda=0.438mm$ $Z_0=150mm$, $P_x=0.016$, $P_y=0.0001$, $P_z=0.00$)를 使用해서 (13)式에 依하여 再生하면 Photo. 4의 各各 對應하는 位置의 4個의 再生像이 될다.

Photo. 5와 6은 Photo. 2와 3의 (a)와 (b)2個(第1走查)의 hologram과 (c)와 (d)2個(第2走查)의 것을 各走查에 關하여 x 方向의 奇數列과 偶數列을 차례로 插入하는 配列變更을 한것이다. 즉, Photo. 5의 (a)는 第1走查에 依한 64×32 個의 實數部의 hologram이고 (b)는 第2走查에 依한 것이다. Photo. 6은 虛數部의 各各에 該當한다. Photo. 5와 6의 (a)의 $2mm$ 間隔(x 方向)을 平均值로 補間해서 各各 64×64 個의 data로 된 各 hologram을 再生하면 Photo. 7의 (a)의 再生像이 된다. Photo. 7의 (b)는 第2走查에 依한 再生像이다. Photo. 7의 (c), (d)는 (a), (b)를 threshold 處理한 各像이다.

Photo. 5와 6의 各各을 다시 x 方向으로 第2走查의 各data를 第1走查의 data사이에 插入하는 配列



(a) (b)



(a) (b)



(a) (b)

Photo. 6 Rearranged holograms from Photo. 3
 (a) Hologram made by Photo. 3(a) & (b)
 (b) Hologram made by photo. 3(c) & (d)

Photo. 7 Reconstructed images from holograms with interpolation & threshold processing

- (a) Image made by Photo. 5(a) & Photo. 6(a)
- (b) Image made by Photo. 5(b) & Photo. 6(b)
- (c) Image made by threshold processing (a)
- (d) Image made by threshold proddressing (b)

變更을 하면 각 data는 data收集時의 hologram面의 原位置로 變更되고 Photo. 8의 (a), (b)와 같다. Photo. 8의 (a)는 實數部의 hologram이고 (b)는 虛實部의 것이다. 이 두 hologram을 再生하면 Photo. 8의 (c)의 再生像이 된다.

以上의 各 再生像을 比較하면 原 data數가 적을수록 noise가 增加하는 것은 當然한 結果이지만은 畫像處理로 畫質을 向上시킬 수 있으므로 data數를 減少시켜 data收集時間과 記憶容量, 그리고 傳送時間을 短縮할 수 있다.

(2) 傾斜된 array 受信器에 依한 hologram으로 像의 再生

表의 $S_2(A=0.92^\circ, B=-5.34^\circ)$ 를 配列變更하여 複數振幅을 display한 것이 Photo. 9의 (a), (b)의 寫真이다. (a)가 實數部의 hologram이고 (b)가 虛數部의 hologram이다. 이것을 從來의 再生法 즉 (1)式에서 $P_x=P_y=P_z=0$ 로 해서 (13)式으로 再生한 것이 Photo. 9의 (c)의 再生像이다. 이것은 array受信器가 傾斜함으로써 x 方向(走査方向)의 sample 間隔보다 y 方向(array受信子의 配列方向)의 sample間隔이 短縮되어 y 方向의 空間周波數 ((6)式)가 x 方向의 空間周波數 보다 增加함으로써 y 方向으로 多重像이 再生된 것이다. Photo. 9 (a), (b)의 兩hologram을 表에서 S_2 의 parameter ($\lambda=0.348mm, z_0=150mm, P_x=0.016, P_y=0.005, P_z=-0.093$)를 使用해서 一般化한 (13)式으로 再生한 것이 Photo. 9의 (d)인 再生像이다.

그리고 array 受信器를 反對方向으로 傾斜한 $S_3(A=0.92^\circ, B=6.33^\circ)$ 를 S_2 와 같은 方法으로 再生한 것이 Photo. 9의 (e), (f)의 再生像이다. (e)가 從來의 再生法 ($P_x=P_y=P_z=0$)에 依한 再生像이고 (f)가 一般化한 再生法 ($P_x=0.016, P_y=0.004, P_z=0.08$)으로 再生한 再生像이다.

一般化한 再生法에 依한 像은 (Photo. 9의 (d), (f)의 再生像)과 같이 物体(Fig. 9)를 完全히 再生한다.

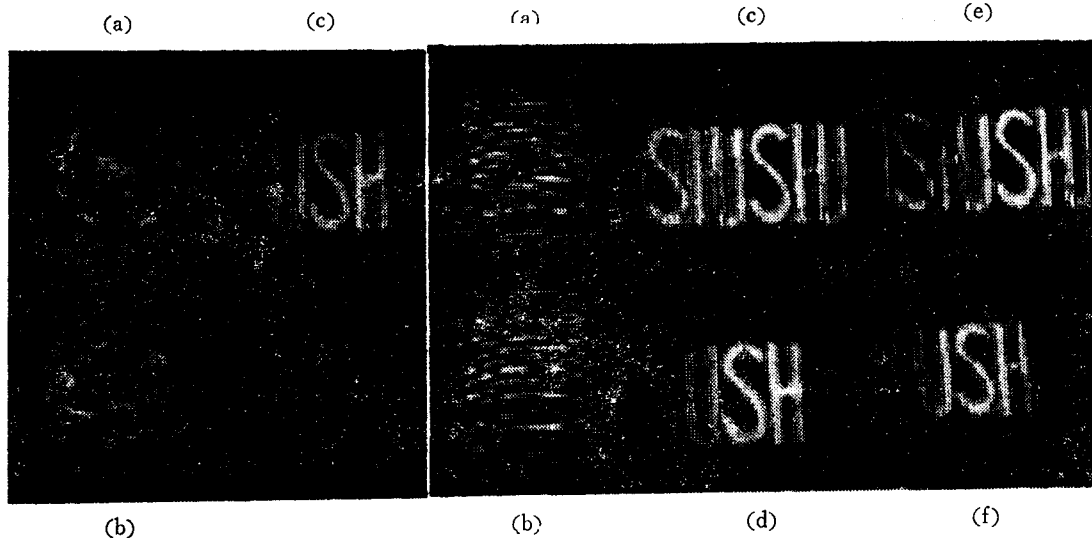


Photo. 8 Rearranged holograms (each hologram : $1mm \times 1mm$ sampling, 64×64 data) from Photo. 5 & Photo. 6, and reconstructed image

- (a) Hologram made by Photo. 5
- (b) Hologram made by Photo. 6
- (c) Image made by (a) & (b)

Photo. 9 Holograms from tilted array receivers and its reconstructions by means of traditional method(TM), and new & general method(NGM)

- (a) Real part of hologram
- (b) Imaginary part of hologram
- (c) Reconstructed image by means of TM using (a) & (b)
- (d) Reconstructed image by means of NGM using (a) & (b)
- (e) Reconstructed image from TM using other holograms (S_3) tilted inversely to (a) & (b)
- (f) Reconstructed image from NGM using other holograms (S_3) tilted inversely to (a) & (b)

5. 傾斜한 array受信器에 依한 Fresnel zone tattern

表中 $S_4=0.92^\circ, B=-4.04^\circ$ 는 無物体의 音場을 傾斜한 array受信器로 data를 收集한 것이다. 이것을 配列變更한 複素振幅을 display한 것이 Photo. 10의 (a), (b)의 寫眞이고 (a)가 實數部의 hologram 즉 Fresnel zone pattern이며 (b)가 虛實部의 zone pattern이다. 이들 寫眞에서 각各 上部에 黑線이 나타나는 것은 array受信子 32個中 第3번째의 受信子가 斷線됨으로써 配列變更後의 hologram(zone pattern)에는 5列과 6列의 data가 衰失된 까닭이다. 한편, 一般化한 impulse 應答式인 (4)式에 S_4 의 各 parameter($\lambda=0.345mm, z_0=D=427mm, P_x=0.016, P_y=0.006, P_z=-0.0704$)를 使用해서 simulation한 複素振幅의 各 hologram 즉, zone pattern을 Photo. 10 (c), (d)의 寫眞으로 나타내었다. (c)가 實數部의 zone pattern이고 (d)가 虛數部의 zone pattern이다. 이것은 實測에 依한 Photo. 10 (a), (b)와 比較하면相當히一致한 結果가 된다.

參考로 이 simulation에서 $P_x=P_y=P_z=0$ 즉, array受信器가 傾斜하지 않는 경우의 simulation의 複素振幅의 hologram(zone pattern)을 Photo. 11 (a), (b) [(a)가 實數部, (b)가 虛數部]에 表示하고, 또 이 條件($A=0, B=0$)으로 實測한 複素振幅의 hologram(zone pattern)을 Photo. 11의 (e), (f) [(e)가 實數部, (f)가 虛數部]에 表示하였다. Photo. 11의 (c), (d)는 實測에 依한 (e), (f)의 複素振幅을 振幅部(c)와 位相部(d)로 變換한 hologram이며, 位相部는 역시 zone pattern을 形成하고 있다.

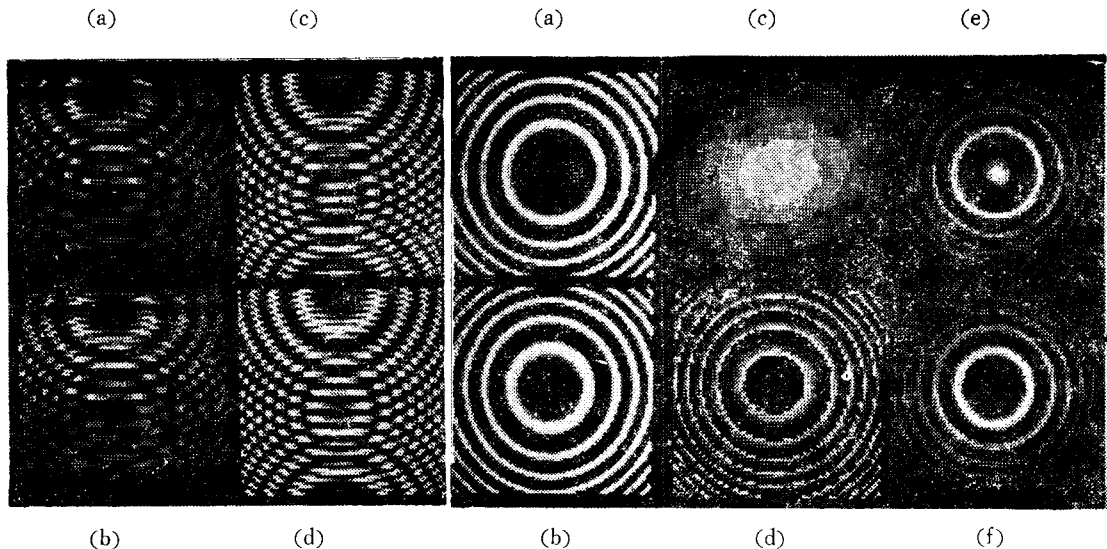


Photo. 10 Fresnel zone pattern from tilted array receivers(Table S4) and its simulation under the same conditions.
 (a) Real part of hologram from tilted array receivers
 (b) Imaginary part of hologram from tilted array receivers
 (c) Real part of hologram from simulation
 (d) Imaginary part of hologram from simulation

Photo. 11 Fresnel zone pattern & amplitude hologram by means of simulation & untilted array receivers(Table S4)
 (a) Real part of hologram from simulation
 (b) Imaginary part of hologram from simulation
 (c) Amplitude hologram from untilted array receivers
 (d) Phase hologram from untilted array receivers
 (e) Real part of hologram from untilted array receivers
 (f) Imaginary part of hologram from untilted array receivers

6. 結論

array 受信器를 使用해서 走査型 超音波hologram의 digital再生에서 다음과 같이 結論을 치을 수 있다.

1. data收集時間의 短縮은 ① array受信子를 增加시키고 ② 超音波의 周波數를 높여 sampling間隔을 줄여 hologram面을 縮小시키고(走査距離短縮)③ data數를 줄여 補間法 or 圖像處理法을 利用하고 ④ on-line으로 date를 收集하는 것이다.
2. array 受信器를 使用하면 任意로 傾斜한 hologram面의 data를 염을 수 있고, 傾斜한 hologram面에서도 適用되는 一般化한 再生法을 誘導하여 完全한 再生을 할 수 있다는 것을 立證하였다.
3. 一般化한 再生法의 誘導式의 妥當性을 Fresnel zone pattern의 simulation으로 立證하였다.

參 考 文 獻

- 1) Adrianus Korpel : "Acoustic imaging and hologram" IEEE Spectrum, October 1968.
- 2) Rolf K. Mueller : "Acoustic Holography" Proceedings of the IEEE, Vol. 59, No. 9 September 1971.
- 3) 尾上守夫：“超音波ホログラフィー” テレビジョン 第30巻 第4號 1976.
- 4) 尾上, 孫：“デジタル再生による超音波ホログラフィー検査”
非破壊検査 秋季大會講演 1976. 9.
- 5) 辻内順平：“超音波ヒホログラム” 電子通信學會 1973年 3月 23日 超音波研究資料
- 6) W. P. Leung, et al : "Non-Destructive Testing with an Electronically Focused Acoustic Imaging System" 1975 Ultrasonic Symposium proceeding, IEEE Gat. #75 CHO 994~4SU, p. 84.
- 7) G. S. Kino, et al : "New Acoustic Imaging Systems for Non-Destructive Testing" 1975 Ultrasonics Symposium Proceeding, IEEE Got. #75 CHO 994~4SU, p. 94.
- 8) 岩崎, 青木, 鈴木：“走査型超音波ホログラム” 應用物理, 第40卷 第5號(1971)
- 9) A. L. Boyer, et al : "Computer Reconstruction of Images from Ultrasonic Holograms" Acoustical Holography Vol. 2, p. 211 plenum press, New York(1970)
- 10) Thomas S, Huang : "Digital Holography" Proceeding of the IEEE Vol. 59, No. 9 September 1971.
- 11) 尾上守夫：“ホログラムのデジタル処理” 電子通信學會誌 Vol. 59, No. 11(1976)
- 12) Yoshinao Arai : "Image Reconstruction by Computer in Acoustical Holography" Acoustical Holography Vol. 5, p. 551. Plenum Press, New York(1977)
- 13) A. Rosenfeld : "Picture Processing by Computer" Academic Precess New York 1969.
- 14) Wen C. Lin : "Microprocessor-Based Digital System Design Fundamentals and the Development Laboratory for Hardware Designers and Engineering Executives"
Proceeding of the IEEE, Vol. 65, No. 8, August 1977.
- 15) 尾上守夫：“行列の轉置を要しない大規模2次元変換の高速演算法”
東大生研共同研究「多次元情報の傳送と處理」資料 1974. 6. 12
- 16) E. O. Brigram, et al : "The Fast Fourier Transform" IEEE Spectrum December 1967.
- 17) E. O. Brigram : "The Fast Fourier Transform" Prentice-Hall 1974.
- 18) 尾上, 孫：“超音波ホログラム用アレイ受信子のばちつき補正による画質向上”
日本音響學會講演論文集 1976. 10.
- 19) 尾上, 山岸, 孫：“マイクロコンピュータによる超音波ホログラムのオンラインデータ收集装置”
日本音響學會講演論文集 1976. 10.
- 20) B. B. Brenden : "History and present status of liquid surface acoustical holography"
J. Acoust. Soc. Am., 58, 5(1975) 951~955.